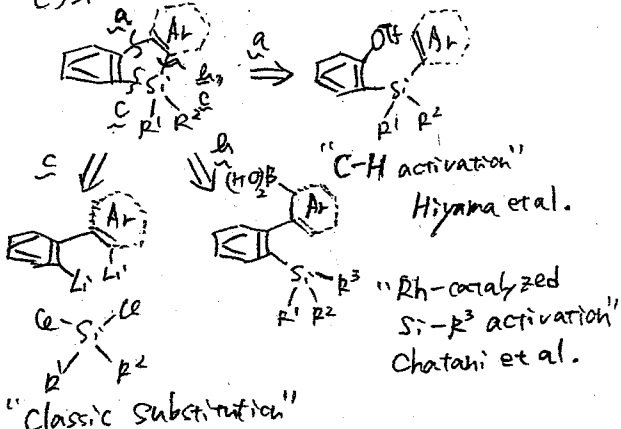


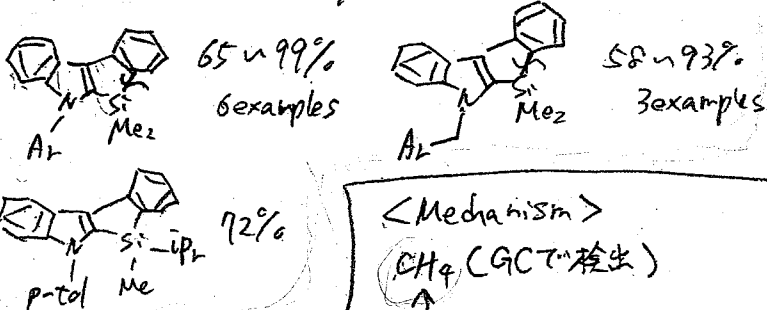
"Palladium-Catalyzed Synthesis of Benzosilolo[2,3-*b*]indoles via Cleavage of a C(sp³)–Si Bond and Consequent Intramolecular C(sp²)–Si Coupling"

Liang, Y.; Zhang, S.; Xi, Z.* J. Am. Chem. Soc. 2011, ASAP (doi: 10.1021/ja2024959)

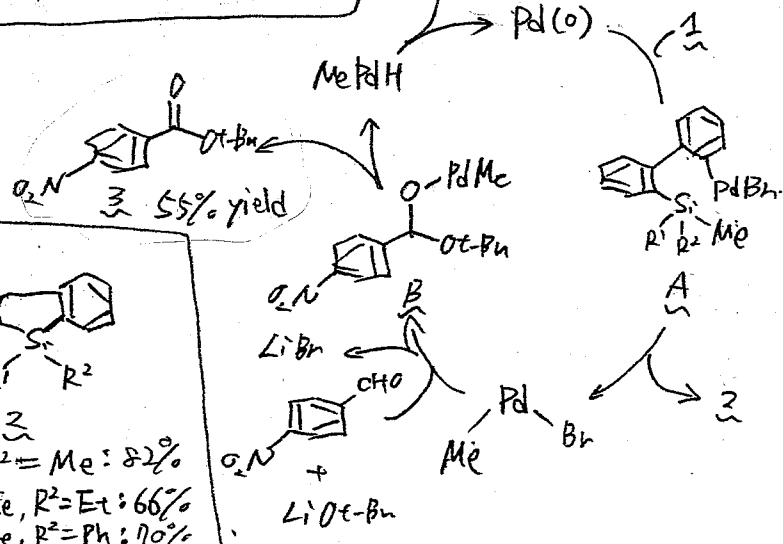
benzosilole は有機発光材料
電子輸送材料として優れてる。



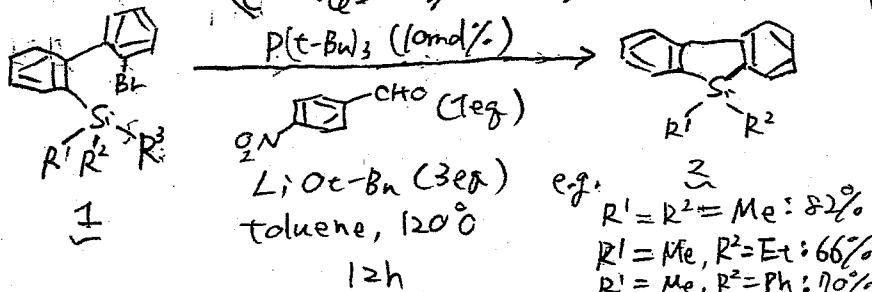
<Benzosilolo[2,3-*b*]indole synthesis>



<Mechanism>



<This work>



Vernier templating and synthesis of a 12-porphyrin nano-ring. (F)

Melanie C. O'Sullivan and Johannes K. Spatzefke et al. Nature, 2011, 469, 72

This Work

77%ト分子ヒ体

最小公倍数で複合体形成!!

Vernier法を用いた場合。

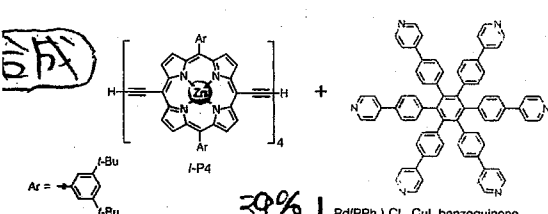
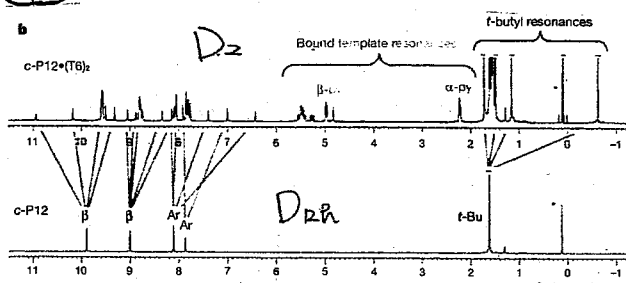
バニラ法を用いて

ホルムアリドの12-

共有結合でつながった

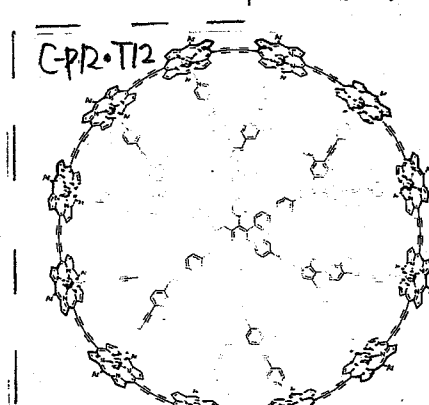
+11=7と合成。

評価

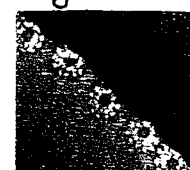


直径4.7 nm

現在までの合成止むた
π共役+11=7とC最大。



STM image



I-P1+(T6) ⇒ C-P6 + "C"。

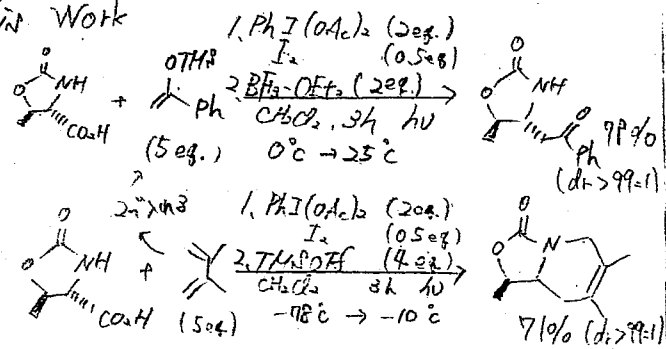
結論 本法の確立により、
11個の大柱が自在になる!!

One-Pot Stereoselective Synthesis of 1,2-Amino Alcohol Derivative

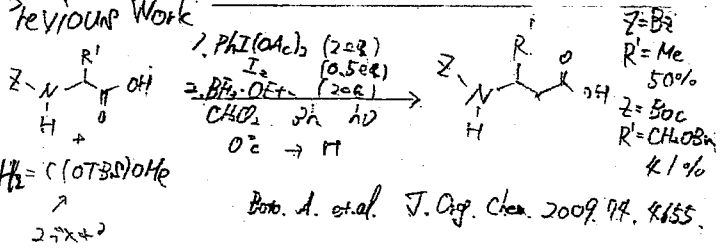
Alicia Boto* and Iván Romero-Estudillo

Org. Lett. DOI: 10.1021/ol201173a

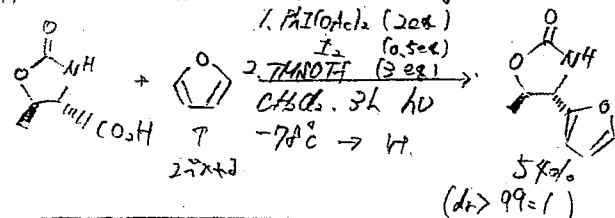
This Work



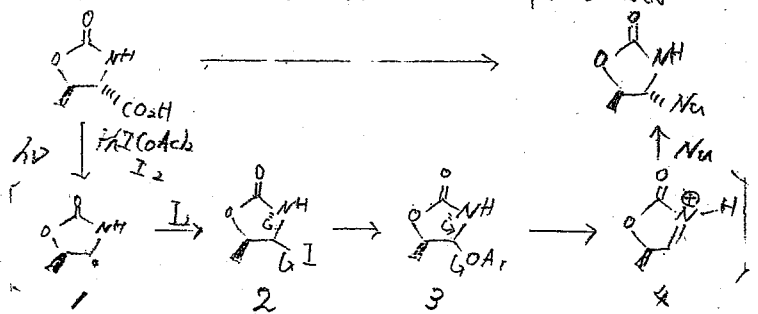
Previous Work



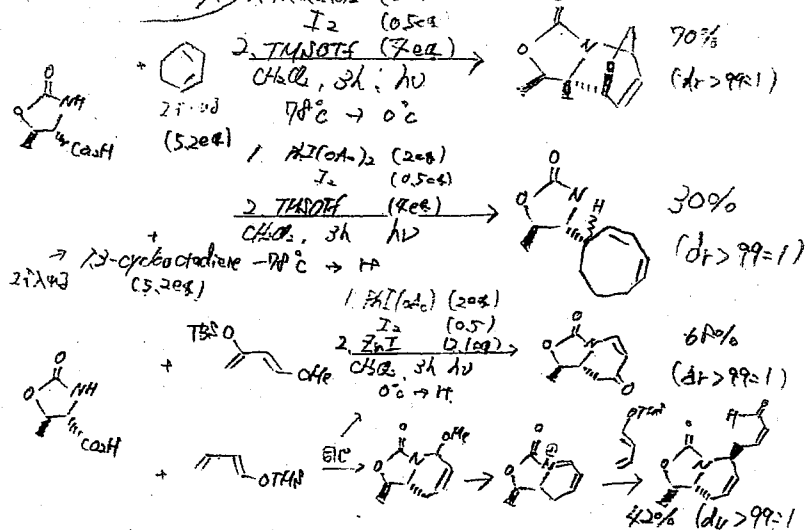
Applied to electron-rich aromatic H atoms



mechanism ... radical and ionic processes



Diol (Aldol type) / 1. PhI(OAc)2 (2 eq)



CT 2011/06/11

M2 Yuki Mitani

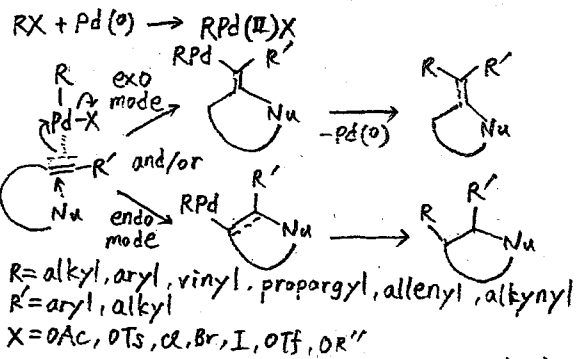
Synthesis of Alkylidenecyclopropanes by Palladium-Catalyzed Reaction of Propargyl-Substituted Malonate Esters

with Aryl Halides by Anti-carbopalladation Pathway

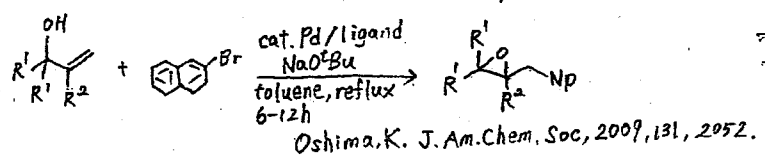
Daishi Fujino, †‡ Hideki Yorimitsu, *‡ and Koichiro Oshima

J. Am. Chem. Soc. (DOI: 10.1021/ja203062z)

Previous Work



Balme, G. et al. Synthesis 2013, 14, 2115.



This Work

Scheme 1. Conventional Synthesis of ACPS

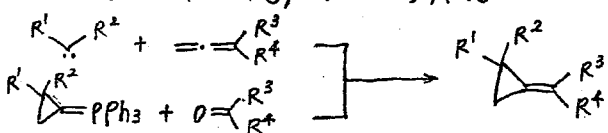


Table 1. Scope of Aryl Halides

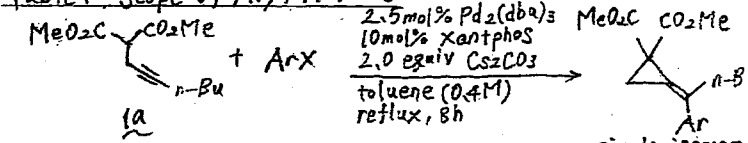
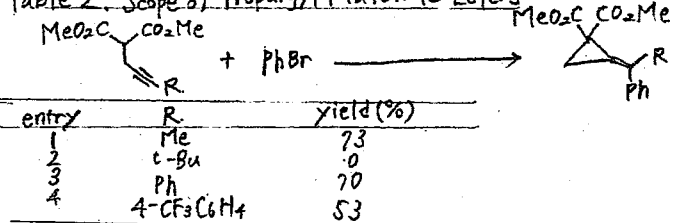
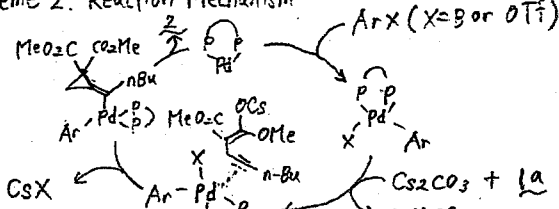


Table 2. Scope of Propargyl Malonate Esters



Scheme 2. Reaction Mechanism



A Scalable Synthesis of Methano[60]fullerene and Congeners by the Oxidation Cyclopropanation Reaction of Silylmethylfullerene

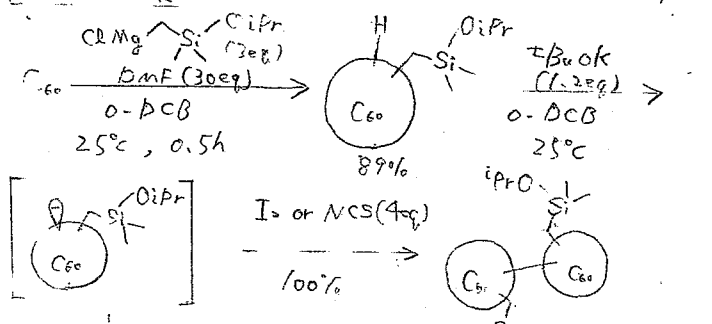
Y. Matsuo, E. Nakamura, et al. J. Am. Chem. Soc. 2011, 133, 8086

Hajime Kawai

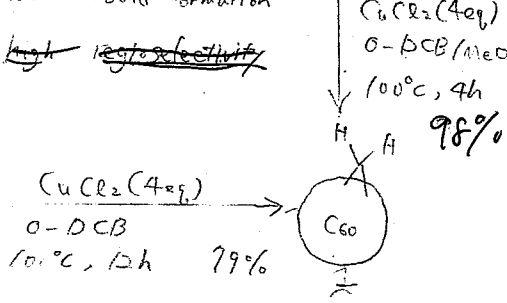
Cyclopropanation

- 1,3-dipolar cycloaddition of diazomethane (CH_2N_2)
- The use of diiodomethane (CH_2I_2)

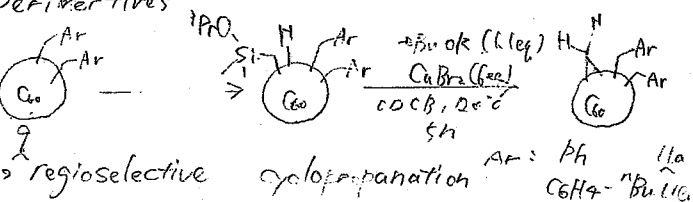
This work



Oxidative C-C bond formation

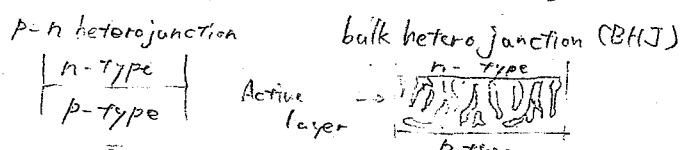


Synthesis of the $S_6\pi$ -Electron Methano[60]fullerene Derivatives



Ar	C_60	9b	11a	11b	14		
	LUMO level (eV)	-3.10	-3.59	-3.60	-3.47	-3.47	-3.51

LUMO Levels for Fullerene Derivatives



Fullerene PCE (%)

Introduction of the methyl group	9b	1.0
raise LUMO level	11b	1.9
Voc	9c	1.6
PCE	11b	3.4

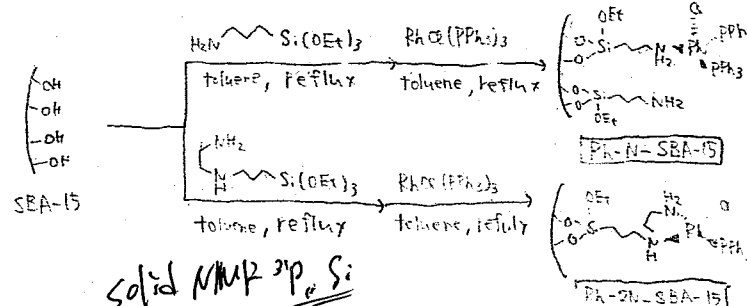
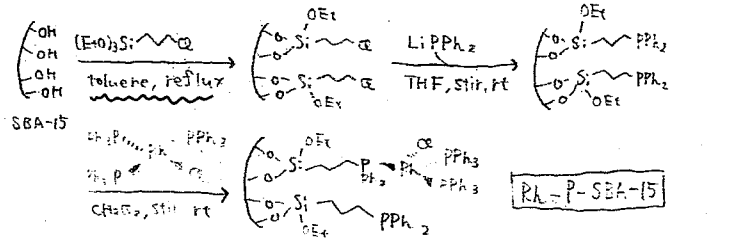
○ $\text{Voc} = \text{PCBM}/\text{TiO}_2$

Highly regio- and stereoselective hydrothiolation of acetylenes with thiols catalyzed by a well-defined supported Rh complex

M1 錦織実験
Chem. Comm.
DOI: 10.1039
16CC11605C

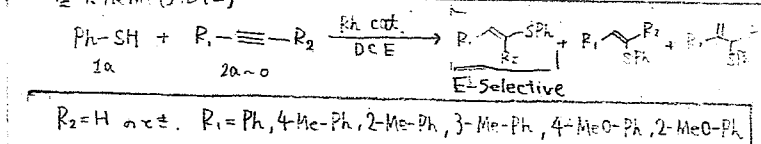
金属触媒を担持したシリカ → 図47・再利用可能

- Rh触媒を担持したSBA-15の合成

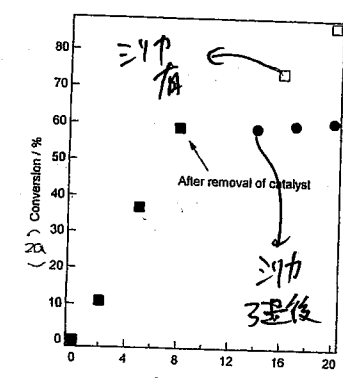
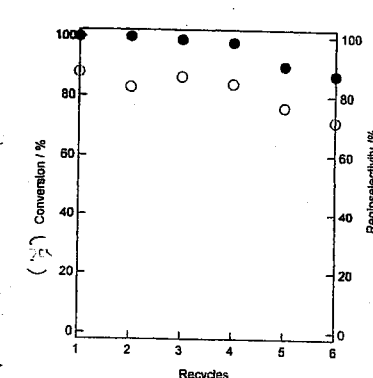
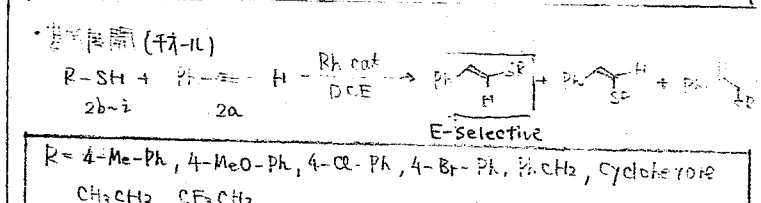


Entry	Catalyst	Conv. / %	(E)+ (Z) : 4aa	E : Z (3aa)
1 (45 min)	RhCl(PPh3)3	98	94 : 6	100 : 0
2	Rh-N-SBA-15	24	>99 : 1	0.9 : 7.1
3	Rh-N-SSP-15	75	>99 : 1	1 : 99
4	Rh-P-SBA-15	88	>99 : 1	100 : 0

基質展開 (アルキル)



基質展開 (アリル)



Divergent Regioselectivity in the Synthesis of Trisubstituted Allylic Alcohols

MI 夫野 和樹

by Nickel- and Ruthenium-Catalyzed Alkyne Hydrohydroxymethylation with Formaldehyde

Cory C. Bausch, Ryan L. Patman, Bernhard Breit, and Michael J. Krische

Angew. Chem. Int. Ed. 2011, 50, 5687.

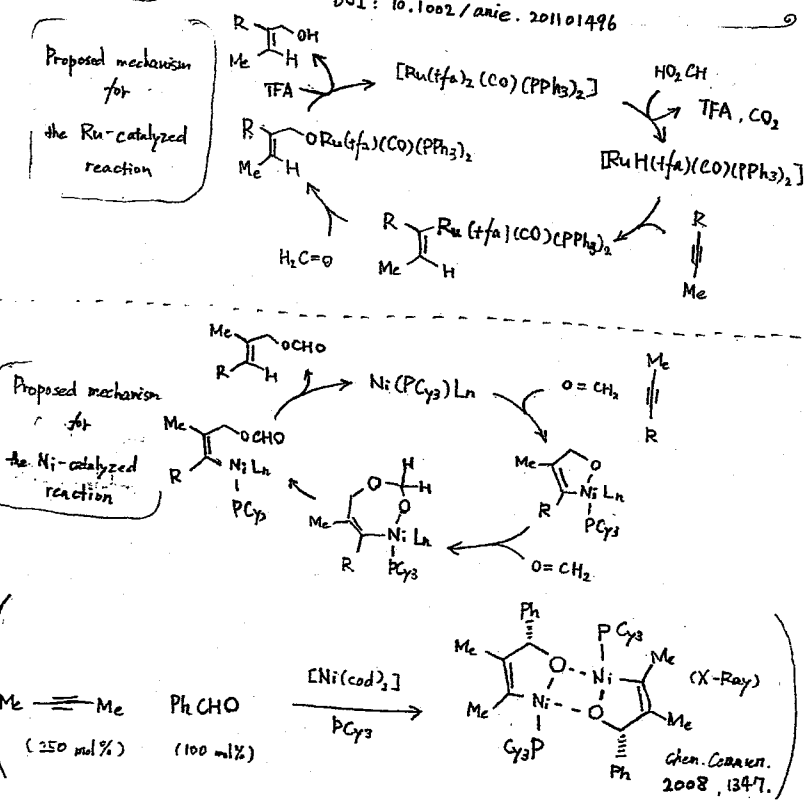
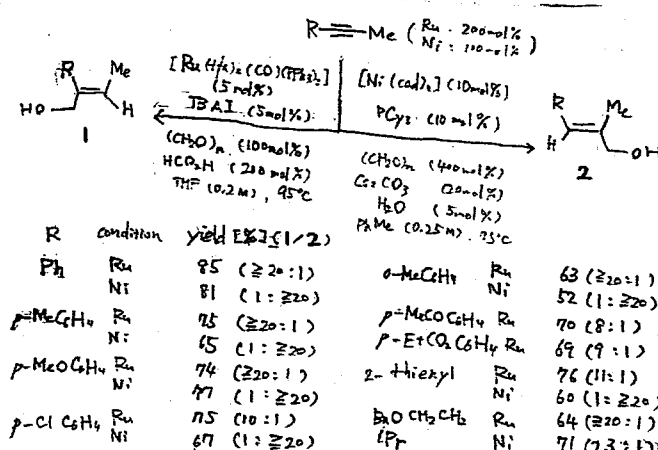
DOI: 10.1002/anie.201101496

位置、立体選択的アルコールの合成

- 化學量論量の有機金属試薬を必要とする反応
- アロカルギルアルコールやジエーテル等への変換に競合
- LiC_6R_2 を使用し合成 \pm 可能
- アルキニ Grignard 試薬の反応による合成

- 量論還元剤 (Et_3B , Et_2Zn , HSR_3) を必要とする
- Ni 触媒 アルキニ-カルボニル還元的カップリング

This Work 量論還元剤を必要としない Ni 触媒によるビロド化



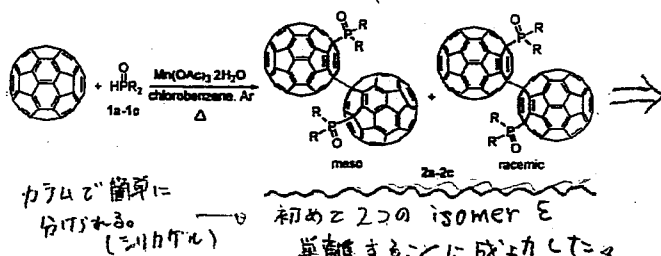
Manganese(III) acetate-mediated radical reaction of [60]fullerene with phosphonate esters affording unprecedented separable singly-bonded [60]fullerene dimers†

CT: 2011/6/11

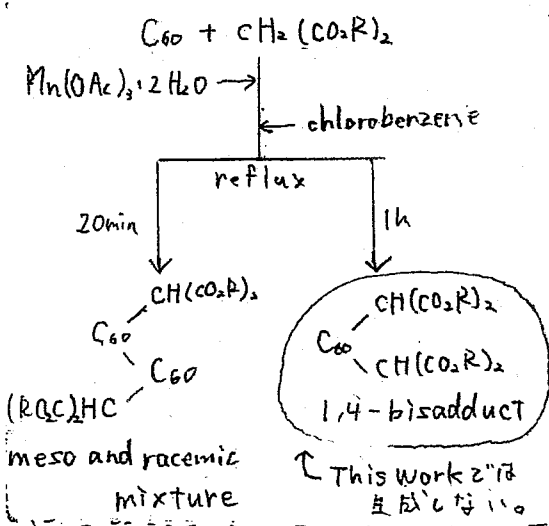
B4 梶島悟

Guan-Wu Wang,*^a Cong-Zhou Wang,^a San-E Zhu^a and Yasujiro Murata*^b DOI: 10.1039/c1cc10820d (Chem. Commun.)

This Work



Previous Work



Substrate I	Molar ratio of $\text{C}_60 / 1/\text{Mn}(\text{III})$	T (°C)	t (min)	yield (%)
$\text{HP}(\text{O})(\text{OMe})_2$... 1a	1:2:2	135	50	29 (88)
$\text{HP}(\text{O})(\text{Et}_2)$... 1b	1:2:2	135	50	28 (88)
$\text{O}=\text{P}(\text{O})\text{R}_2$... 1c	1:2:4	100	90	34 (97)

↑ それと並んで fullerene dimer を与える T= (2a-2c)

1,4-bisadduct 生成の機構 (報告されていない)

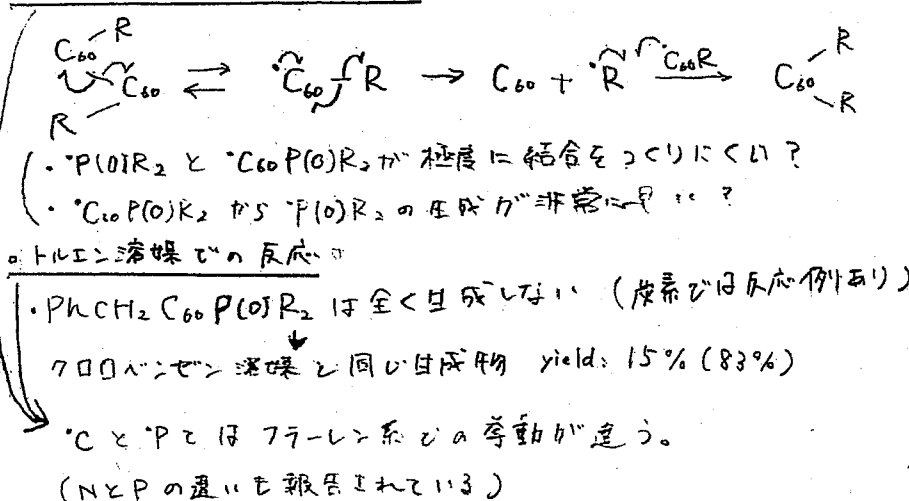


Table 1. anti-Markovnikov Addition of 2a to 1a

entry	catalyst	temp	solvent	yield [%]		
					(1mmol)	(1mL)
1	5mol%	65°C	—	22%		
2	5mol% $[RhCl(CO)_2]_2$	65°C	—	< 5%		
3	5mol% $[RuCl(CO_2)_2]$	65°C	—	not detected		
4	5mol% $IrCl(CO)(PPh_3)_2$	65°C	—	not detected		
5	5mol% 3	65°C	toluene	32%		
6	5mol% 3	65°C	THF	29%		
7	5mol% 3	65°C	DMF	44%		
8	5mol% 3	65°C	DMA	59%		
9	5mol% 3	65°C	Et ₃ N	7%		
10	5mol% 3	65°C	pyridine	not detected		
11	5mol% 3	70°C	DMA	62%		
12	2mol% 3	70°C	DMA	80%		

Scheme 1. Effect of Ligands for Hydromethoxylation of 1a

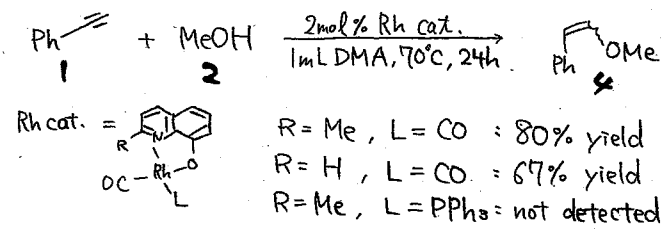
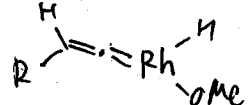


Table 2. Hydromethoxylation of Terminal Acetylenes

entry	1	R	time	yield		
					1 (1mmol)	2 (1mL)
1	1a	p-C ₆ F ₅ C ₆ H ₄	48h	92%		
2	1f	P-NCC ₆ H ₄	48h	85%		
3	1c	P-MeO ₂ C ₆ H ₄	48h	82%		
4	1d	P-MeC ₆ H ₄	6days	64%		
5	1e	P-MeO ₂ C ₆ H ₄	7days	64%		
6	1f	2-naphthyl	48h	55%		
7	1g	1-cyclohexenyl	3days	27%		
8	1h	Ph ₃ C	48h	69%		

このように、末端アルキンへアルコールがanti-Markovnikov付加して生成物が得られたが、その反応機構についてはまだわからていない。



مکالمہ